

地球電磁気地球惑星圏学会
2009年1月2日

木星シンクロトロン放射の イメージング観測計画

通信総研鹿島

近藤哲朗、小山泰弘、中島潤一

東北大理

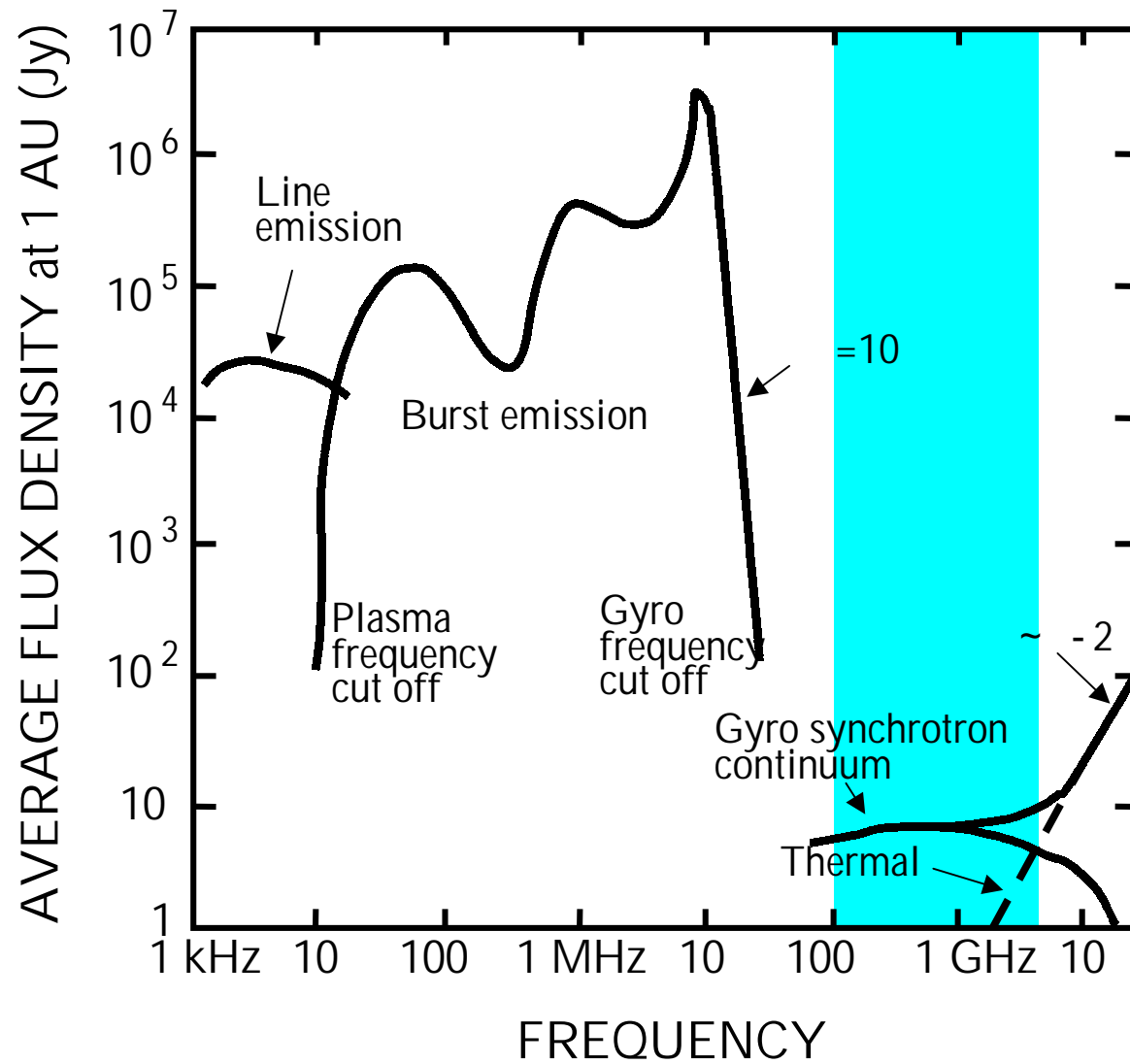
三澤浩昭，土屋史紀，三好由純，森岡昭

国土地理院

福崎順洋



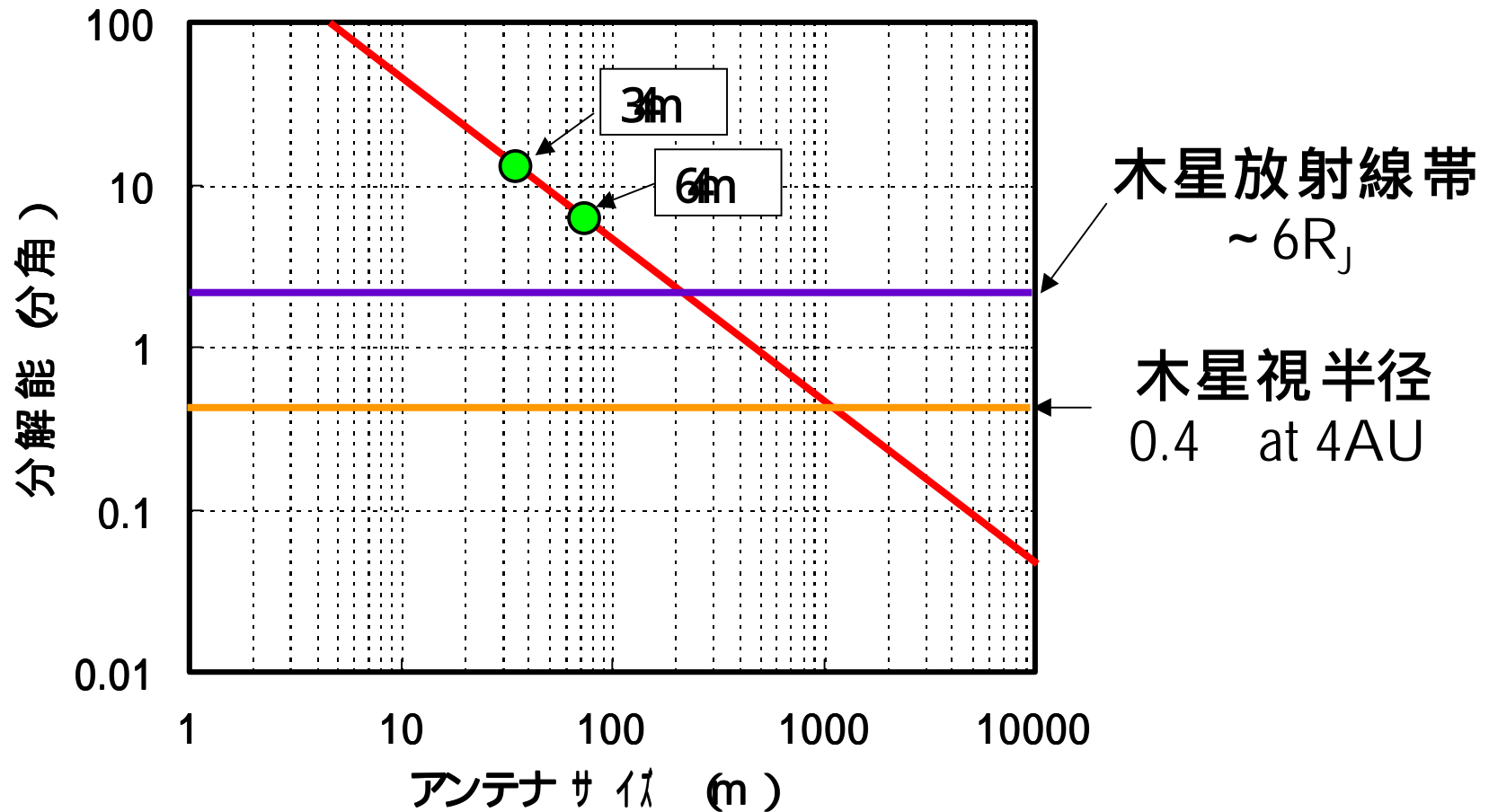
木星電波放射スペクトル



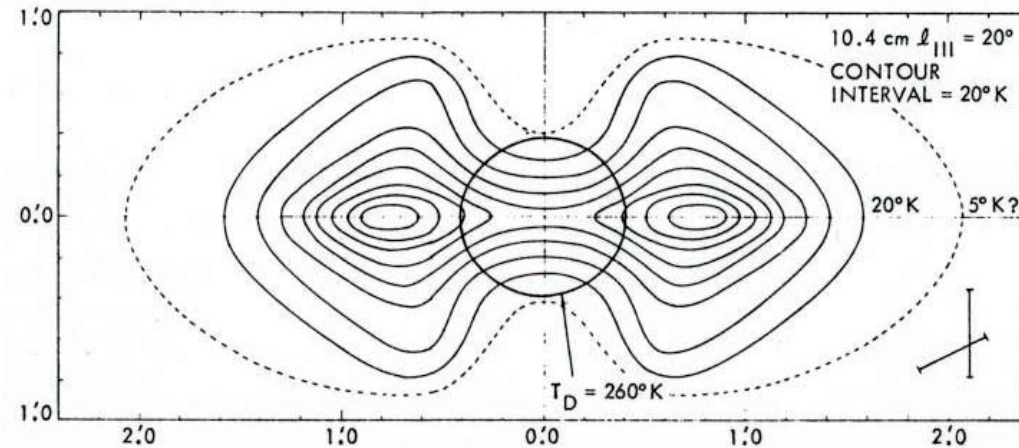
(Carr and Kraus, 1986)



アンテナサイズと分解能 (2GHz)

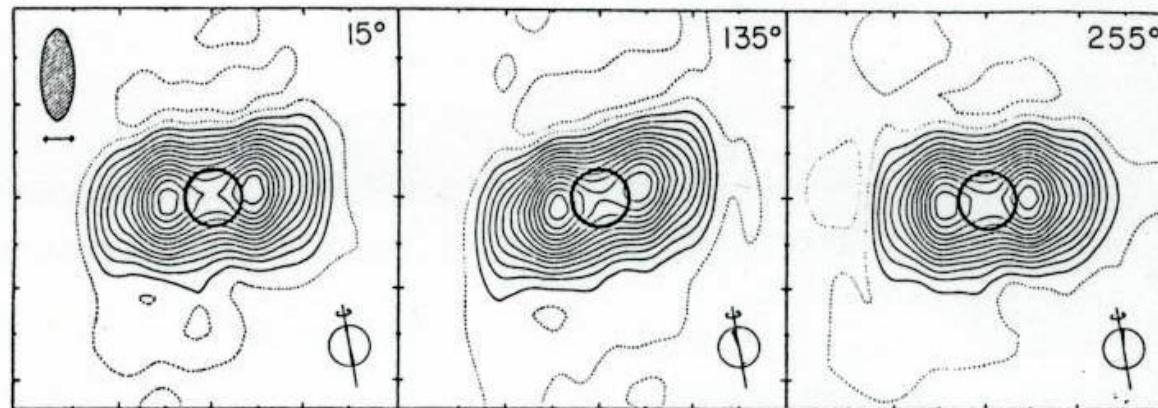


木星放射線帯の観測の変遷



2.9 GHz
OVRO

(Berge 1966)



1.4 GHz
one mile
radio telescope

(Branson 1968)



Very Large Array (VLA)

Socorro, USA

26m アンテナ × 27基

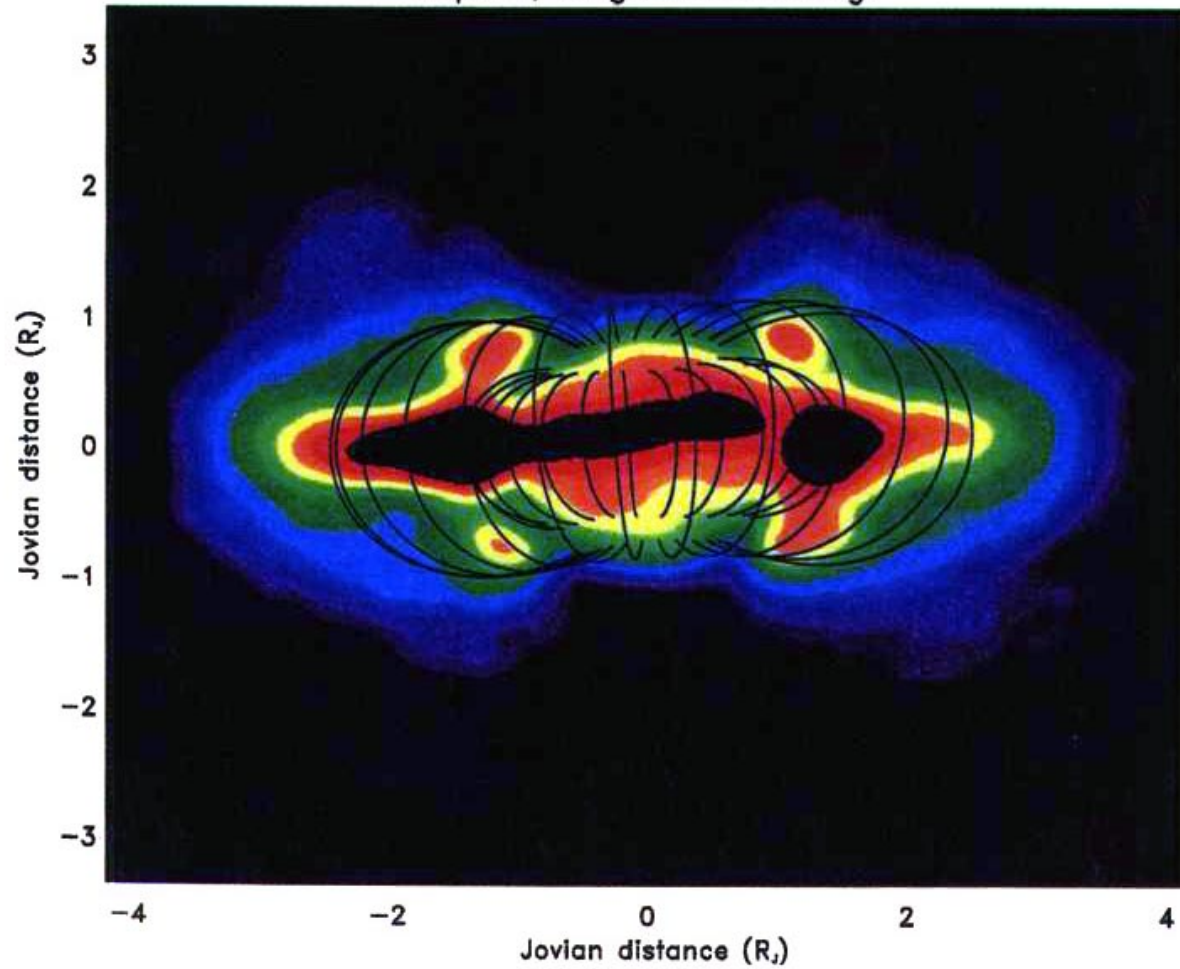
受信周波数(GHz) 0.32, 1.5, 4.75, 8.4, 15, 23, 45



<http://www.aoc.nrao.edu/intro/vlapix/vlaoverall.html>



Jupiter, longitude 312 deg.



1465 MHz

VLA

(de Pater et al., 1997)



Australia Telescope Compact Array (ATCA) Narrabri, Australia

27 アンテナ × 6 基

受信周波数(GHz) :1.5, 2.4, 5.8, 8.5



ATCA

1.4 GHz

2.3 GHz

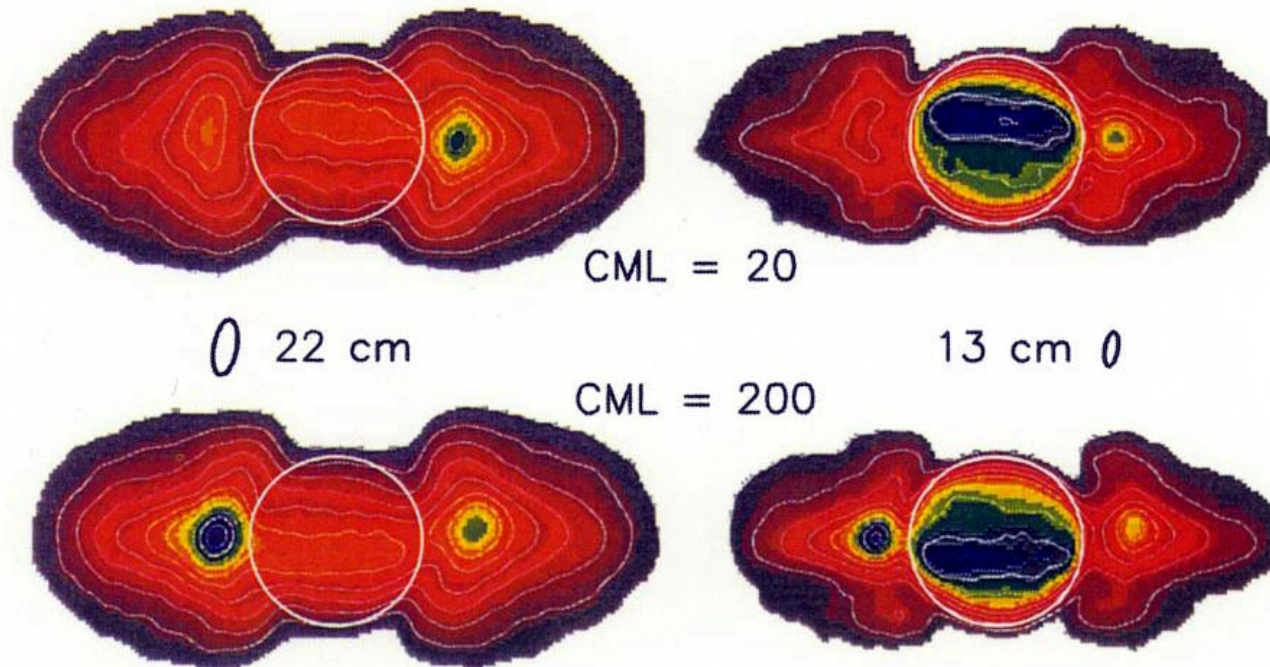


Fig. 3. Two-dimensional images of Jupiter at 22 and 13 cm for two longitudes. The resolution at 13 cm is $8.5'' \times 3.2''$ and at 22 cm it is $14'' \times 5''$. The color table was chosen to cover the full brightness range of 100 K to 1320 K at 22 cm and 50 K to 530 K at 13 cm. The circle shows the size of Jupiter's disk and the ellipses show the half power beams.

(Leblanc et al., 1997)



ATCA 1.4 GHz



Fig. 4. Three-dimensional images of Jupiter's radiation belts at 22 cm. At the top are images in total intensity and on the bottom in linear polarization. The values of CML for the left and middle images are 90° and 270° . The right-hand image is at CML = 90° and viewing angle declination 55° . The warping of the magnetic surface is most evident in the images at CML = 90° .

(Leblanc et al., 1997)





鹿島宇宙通信センター
Kashima Space Research Center



郵政省通信総合研究所
Communications Research Laboratory
Ministry of Posts and Telecommunications

鹿島の アンテナ

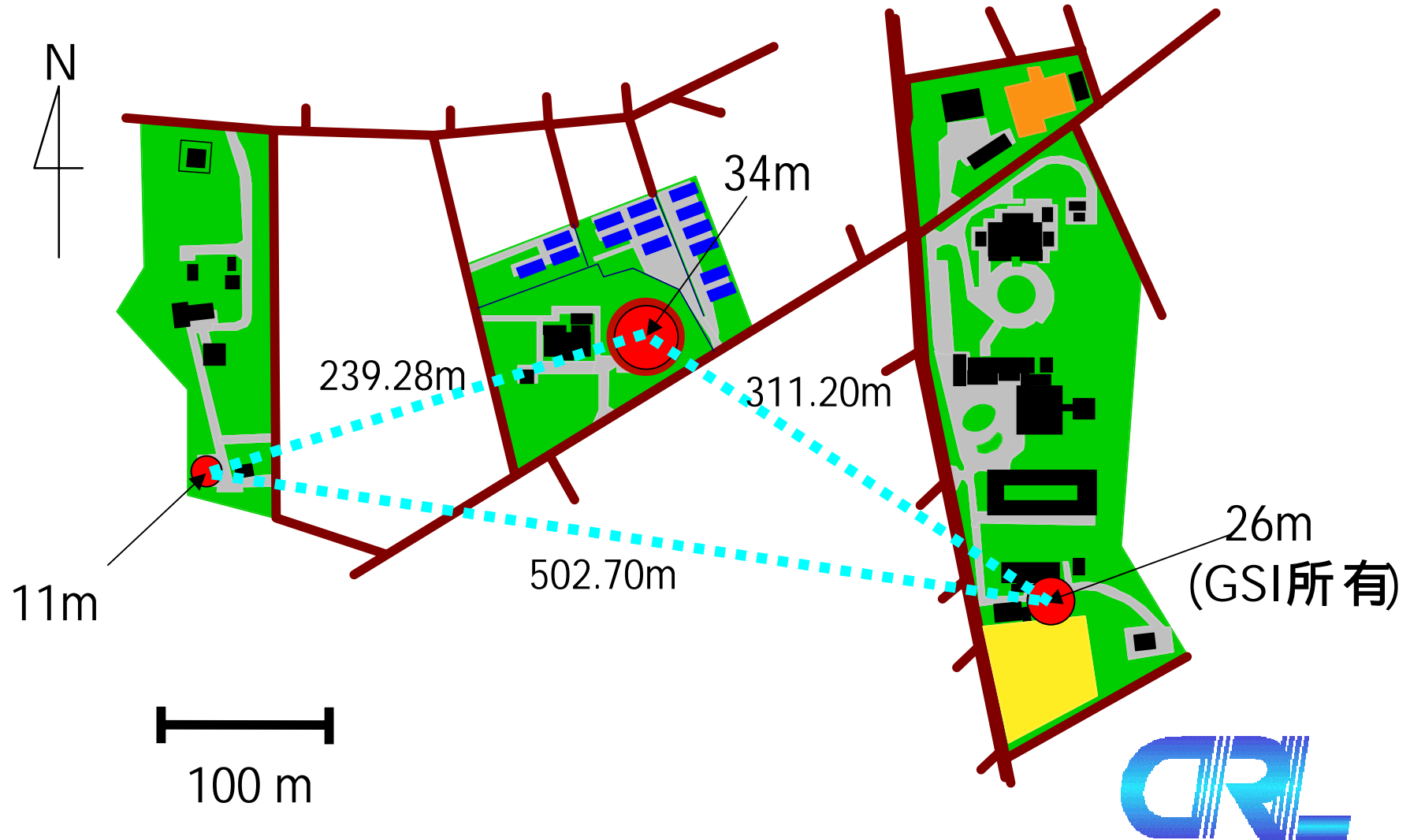


26m
国土地理院所有



鹿島宇宙通信センター

GH帯が受信可能なアンテナ配置

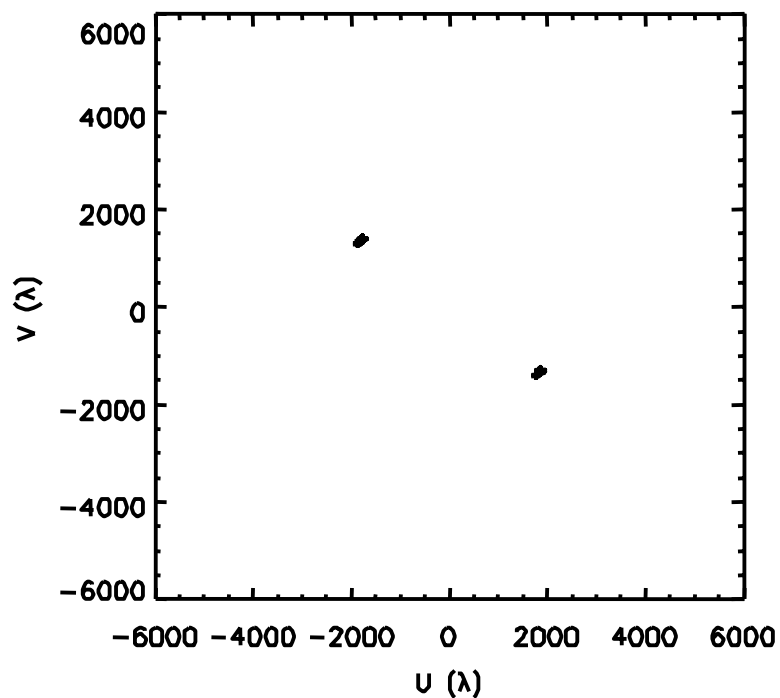


34m アンテナ と 26m アンテナ の 場合

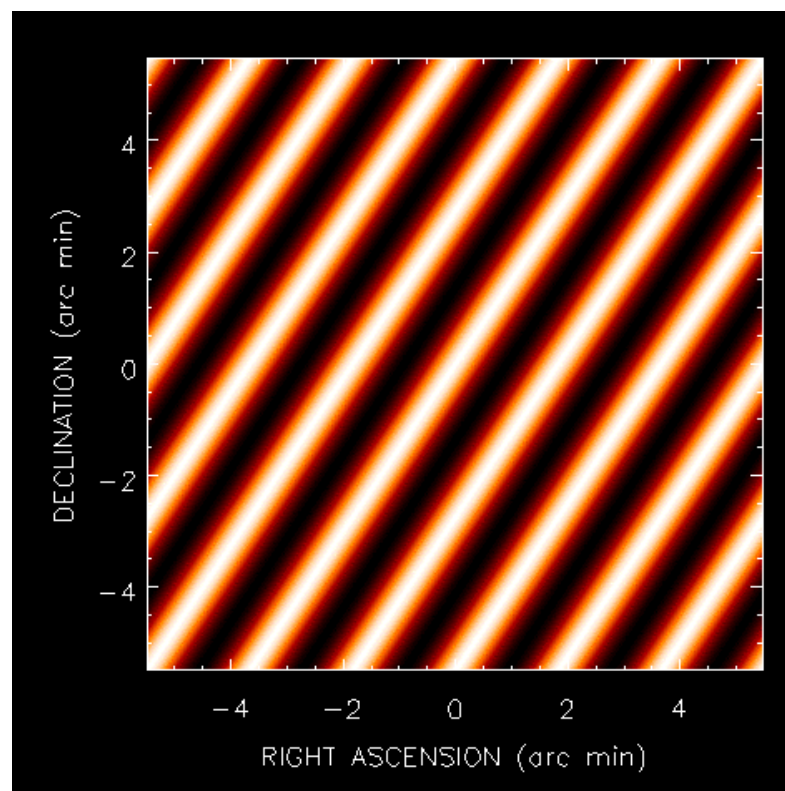
$\theta = 20^\circ$, $H=0 \sim 10^\circ$

$f = 2.2 \text{ GHz}$

U-V



ビームパターン



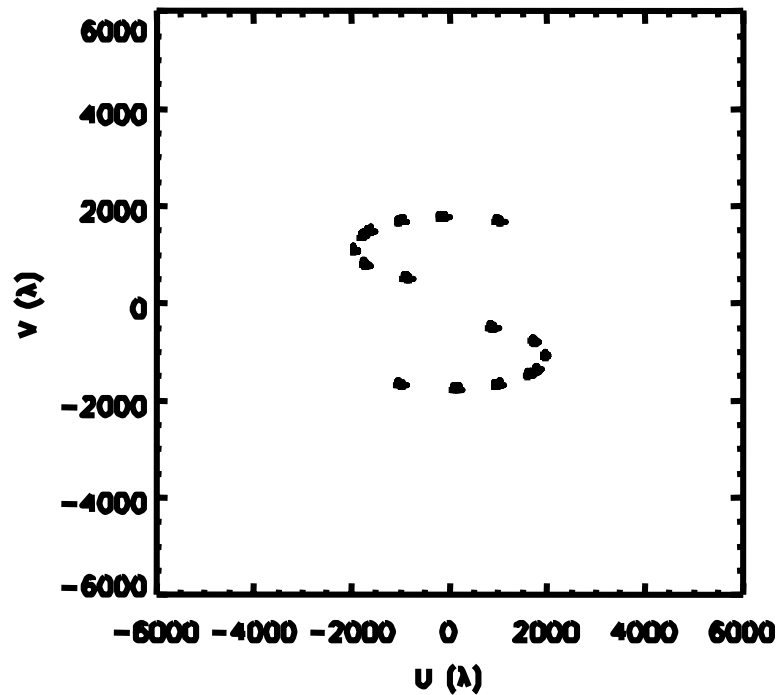
○ 4AUでの木星の大きさ
(視直径0.8')



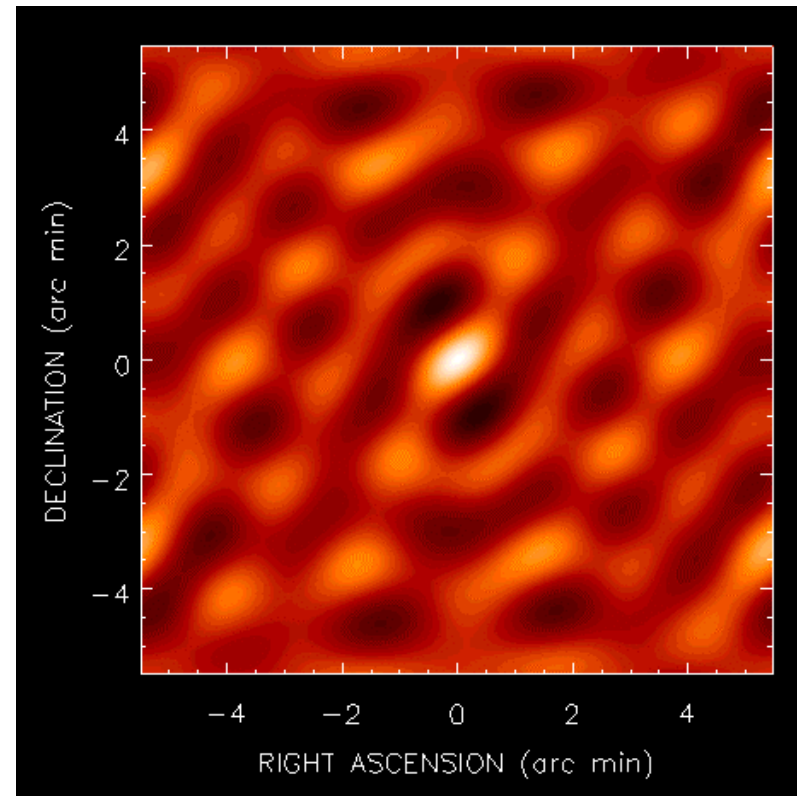
34m アンテナ と 26m アンテナ の 場合

=20°, 5日間同じCM L (0-10°) の 観測 f = 2.2 GHz

U-V



ビームパターン



○ 4AUでの木星の大きさ
(視直径0.8')

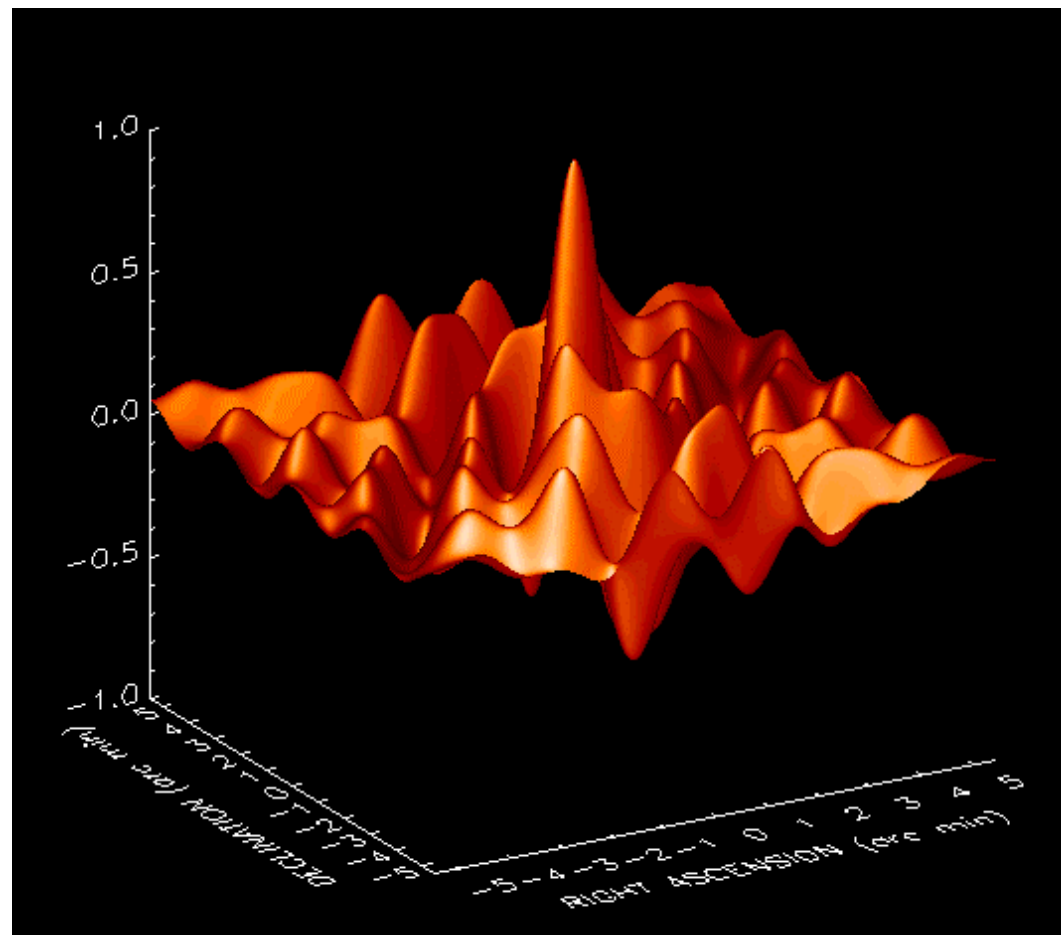


34m アンテナ と 26m アンテナ の 場合

$\theta = 20^\circ$, $EI > 0^\circ$

$f = 2.2 \text{ GHz}$

ビームパターン



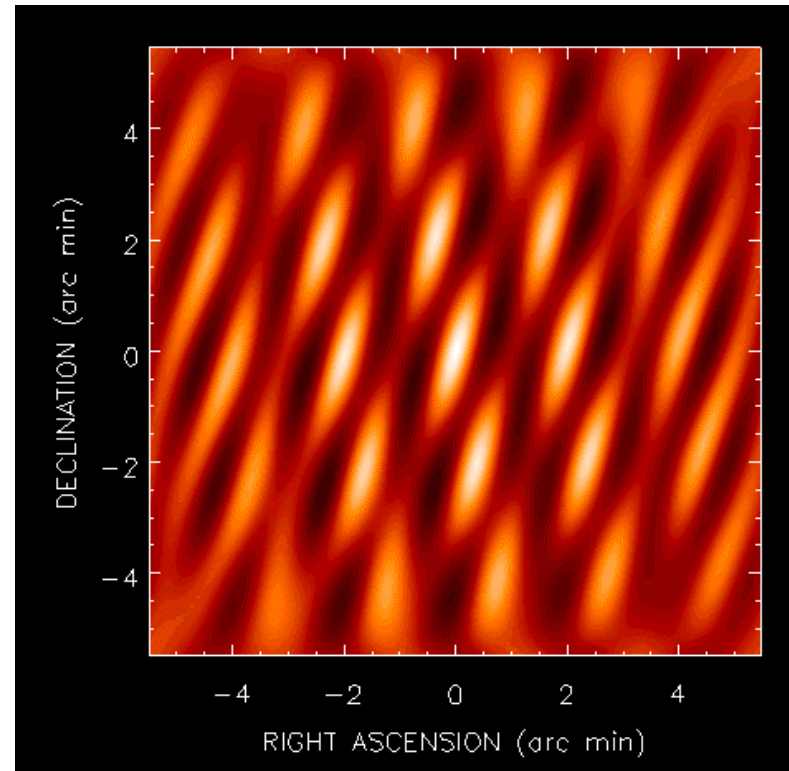
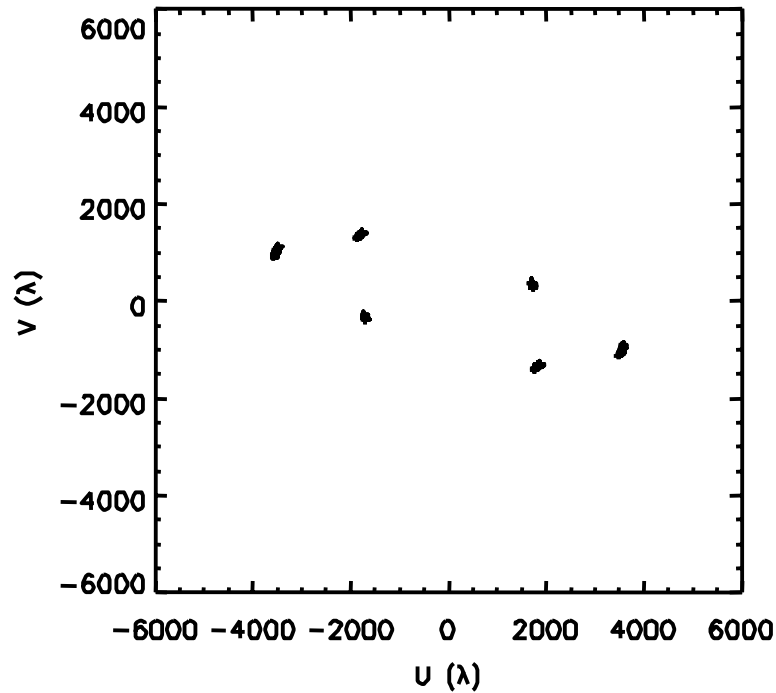
34m + 26m + 11m アンテナ の 場合

=20°, H=0 ~ 10°

f = 2.2 GHz

U-V

ビームパターン



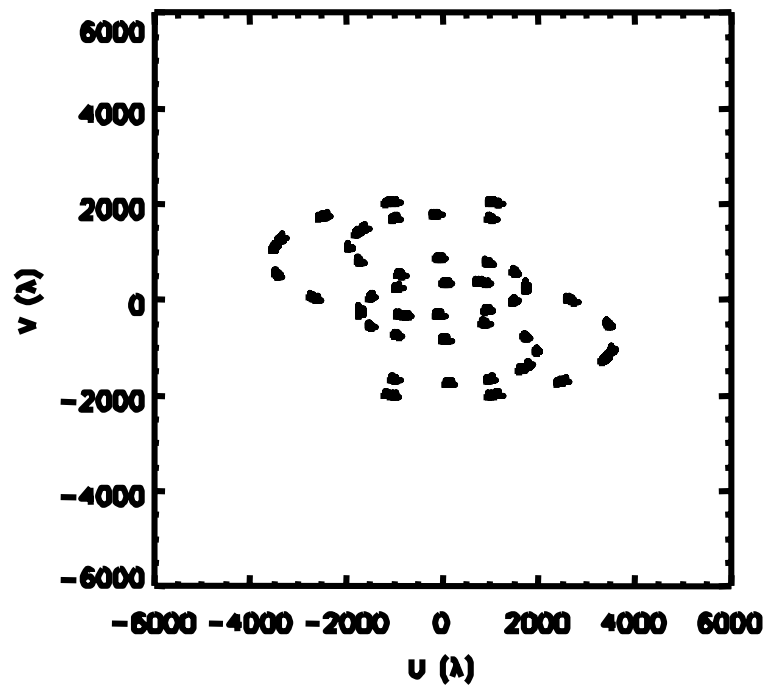
○ 4AUでの木星の大きさ
(視直径0.8')



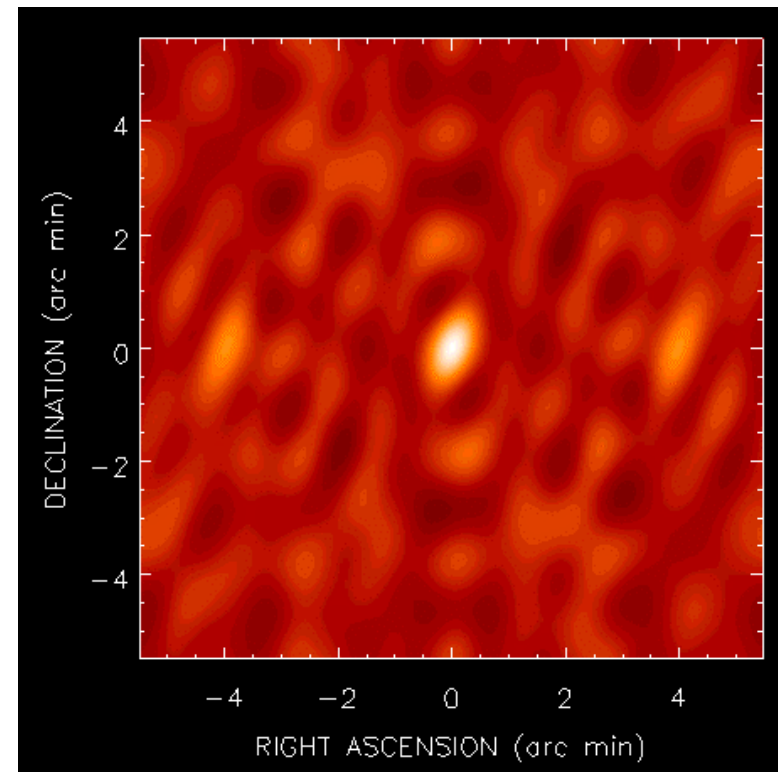
34m + 26m + 11m アンテナの場合

=20°, 5日間同じCM L (0-10°)のみ観測 f = 2.2 GHz

U-V



ビームパターン



○ 4AUでの木星の大きさ
(視直径0.8')

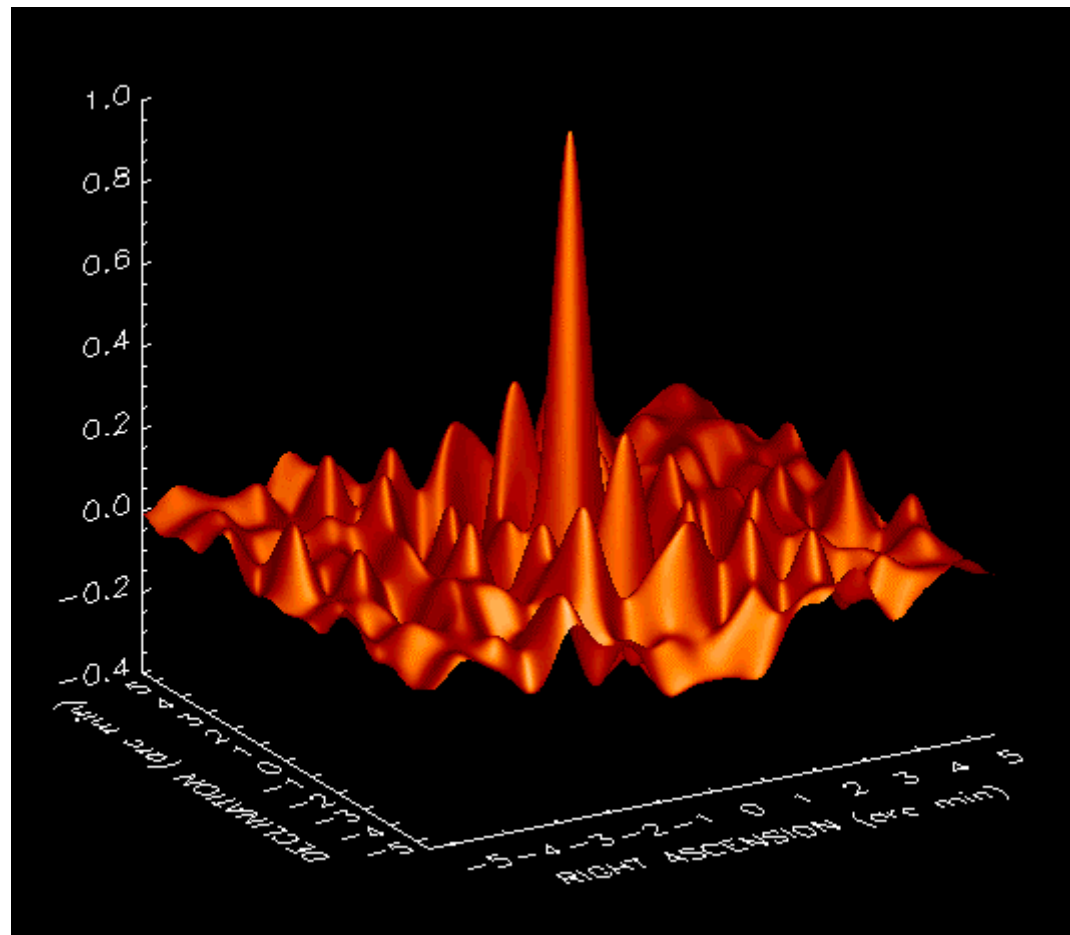


3m + 2m + 1m アンテナ の 場合

$\theta = 20^\circ$, $EI > 0^\circ$

$f = 2.2 \text{ GHz}$

ビームパターン



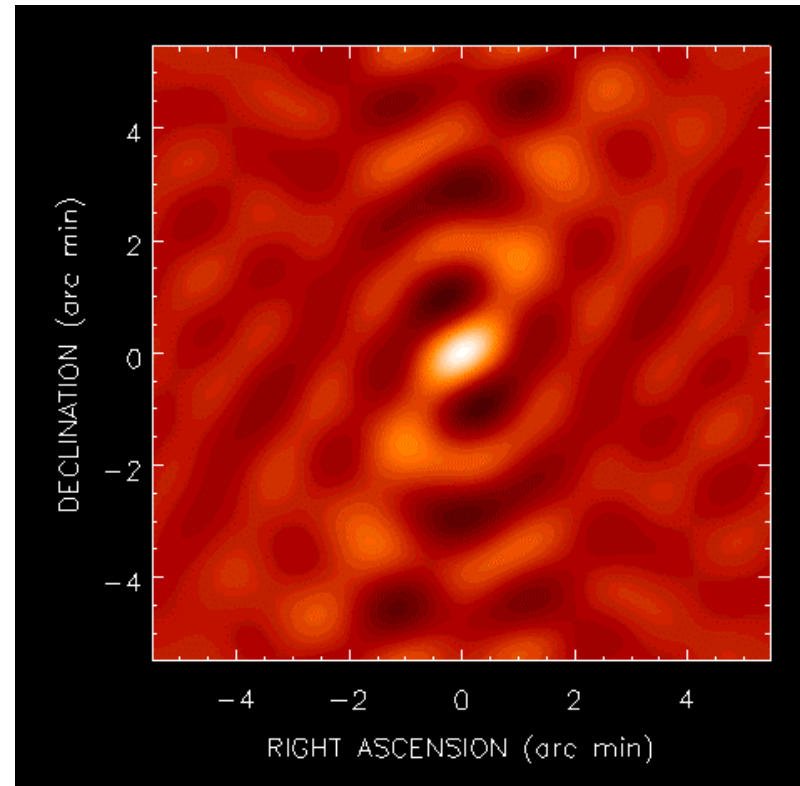
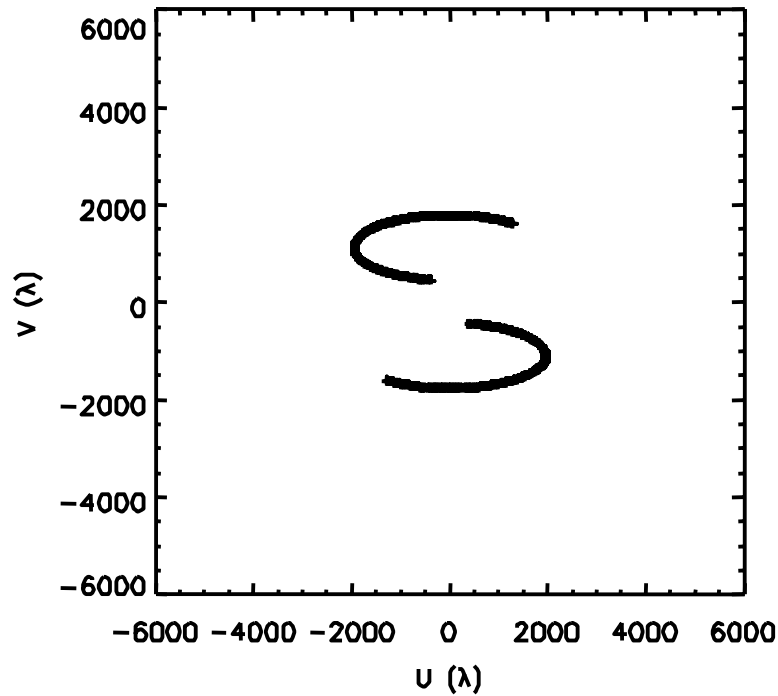
34m アンテナ と 26m アンテナ の 場合

$\theta = 20^\circ$, $EI > 0^\circ$

$f = 2.2 \text{ GHz}$

U-V

ビームパターン



○ 4AUでの木星の大きさ
(視直径0.8')



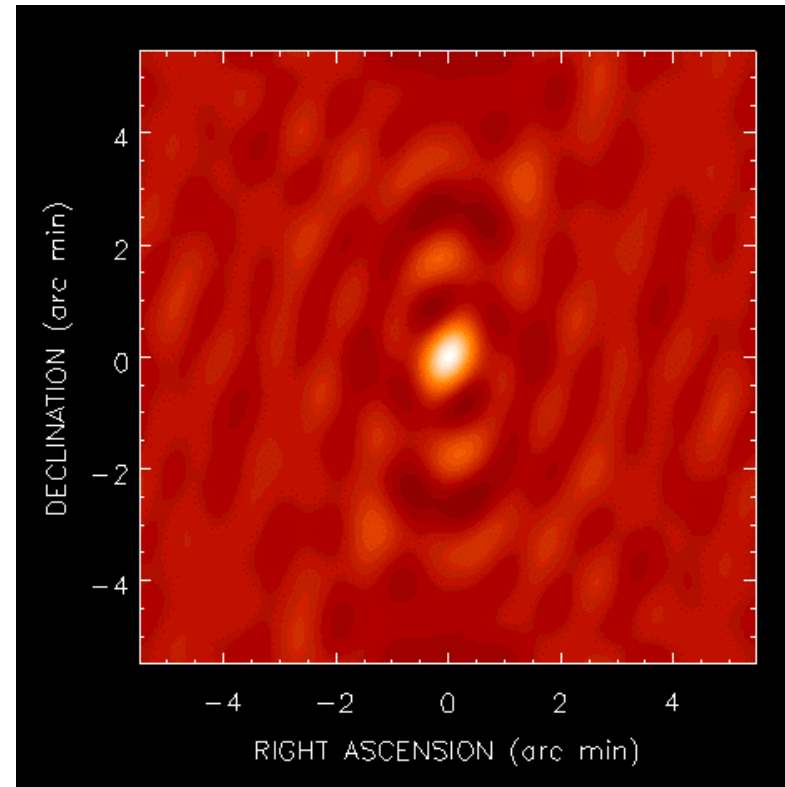
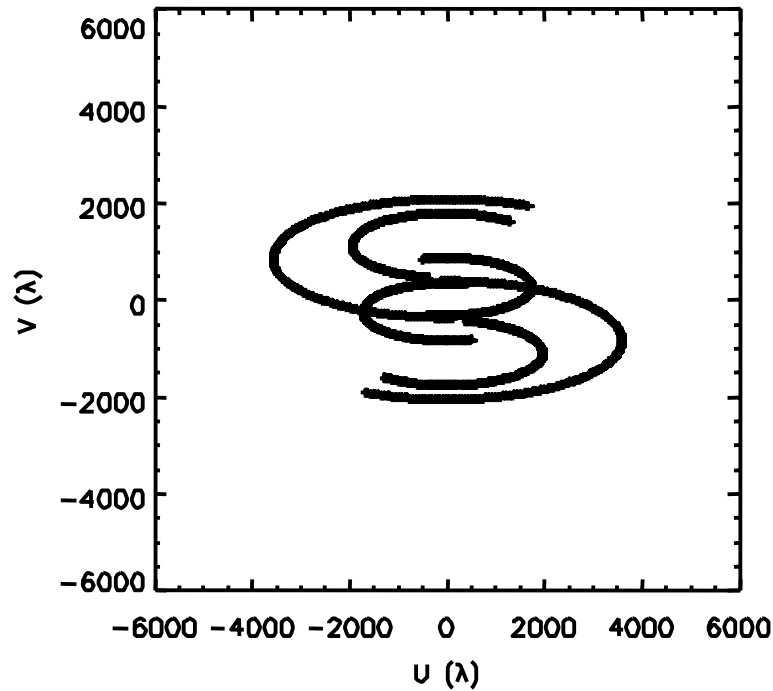
34m + 26m + 11m アンテナの場合

$\theta = 20^\circ$, $EI > 0^\circ$

$f = 2.2 \text{ GHz}$

U-V

ビームパターン



○ 4AUでの木星の大きさ
(視直径0.8')



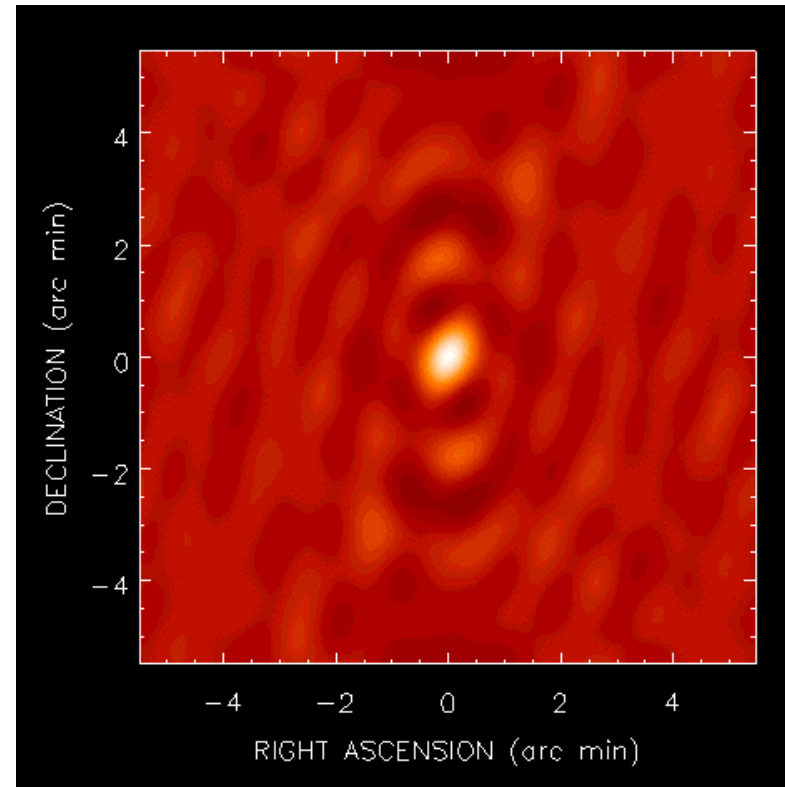
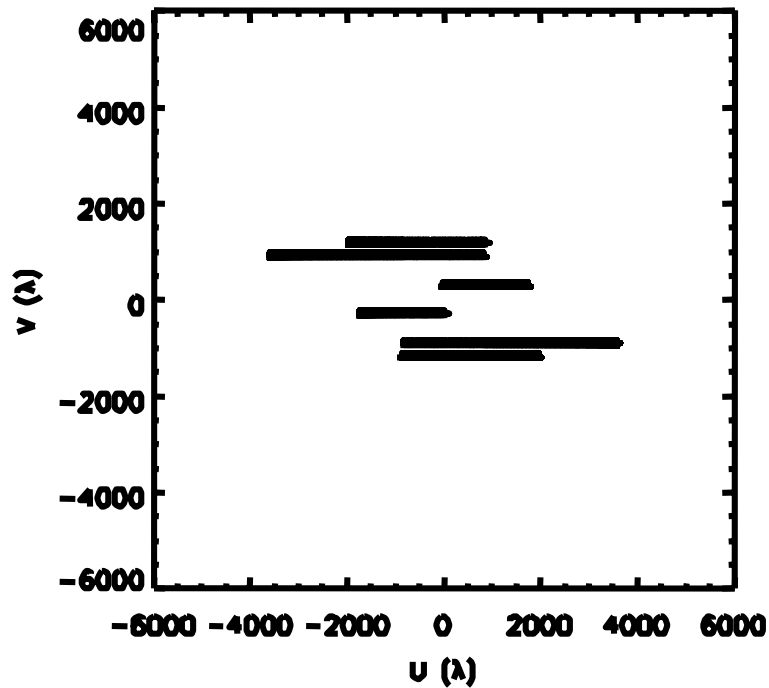
34m + 26m + 11m アンテナの場合

$= 0^\circ, |E| > 0^\circ$

$f = 2.2 \text{ GHz}$

U-V

ビームパターン



○ 4AUでの木星の大きさ
(視直径0.8')



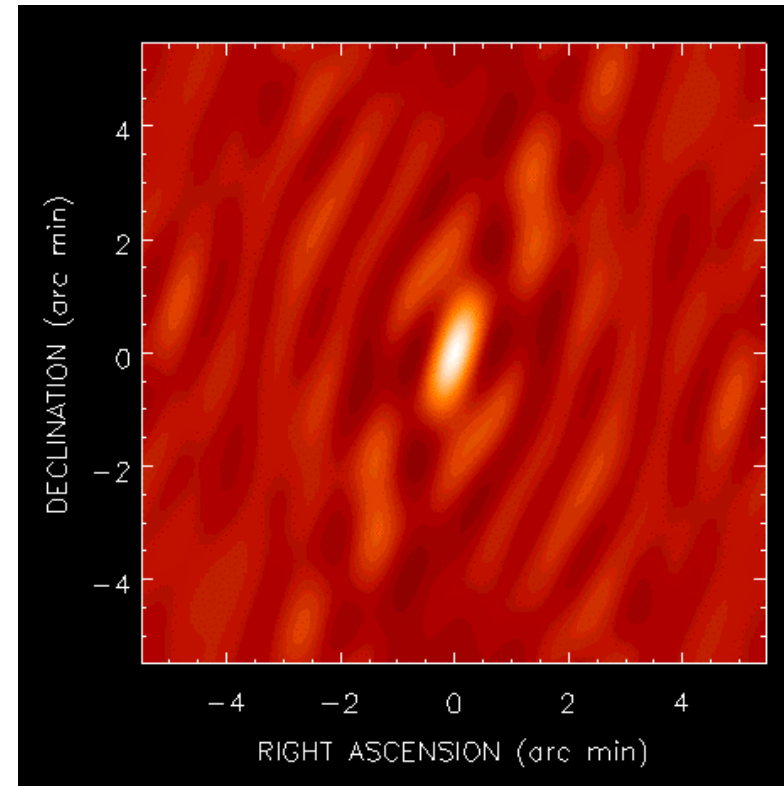
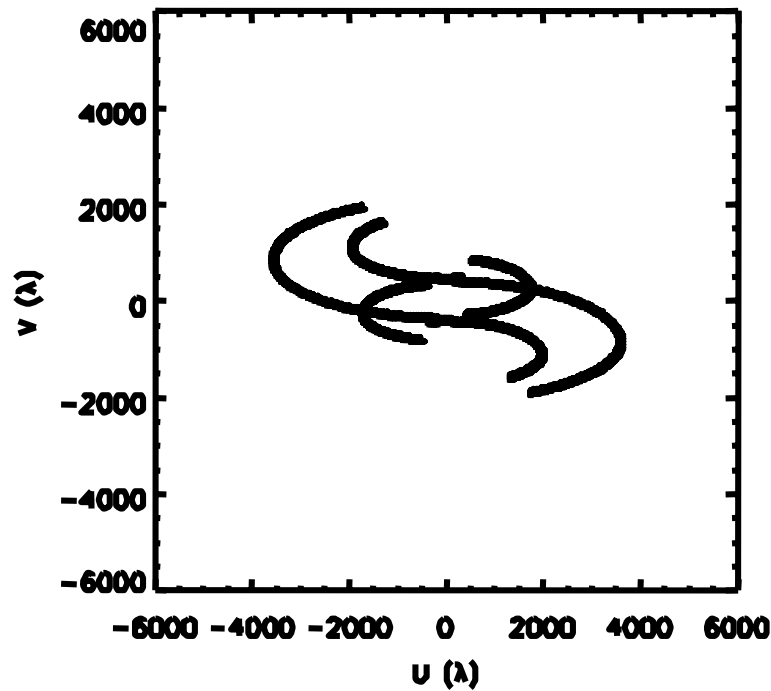
34m + 26m + 11m アンテナの場合

= -20° , $EI > 0^\circ$

f = 2.2 GHz

U-V

ビームパターン



○ 4AUでの木星の大きさ
(視直径0.8')



ATCA 2.3 GHz

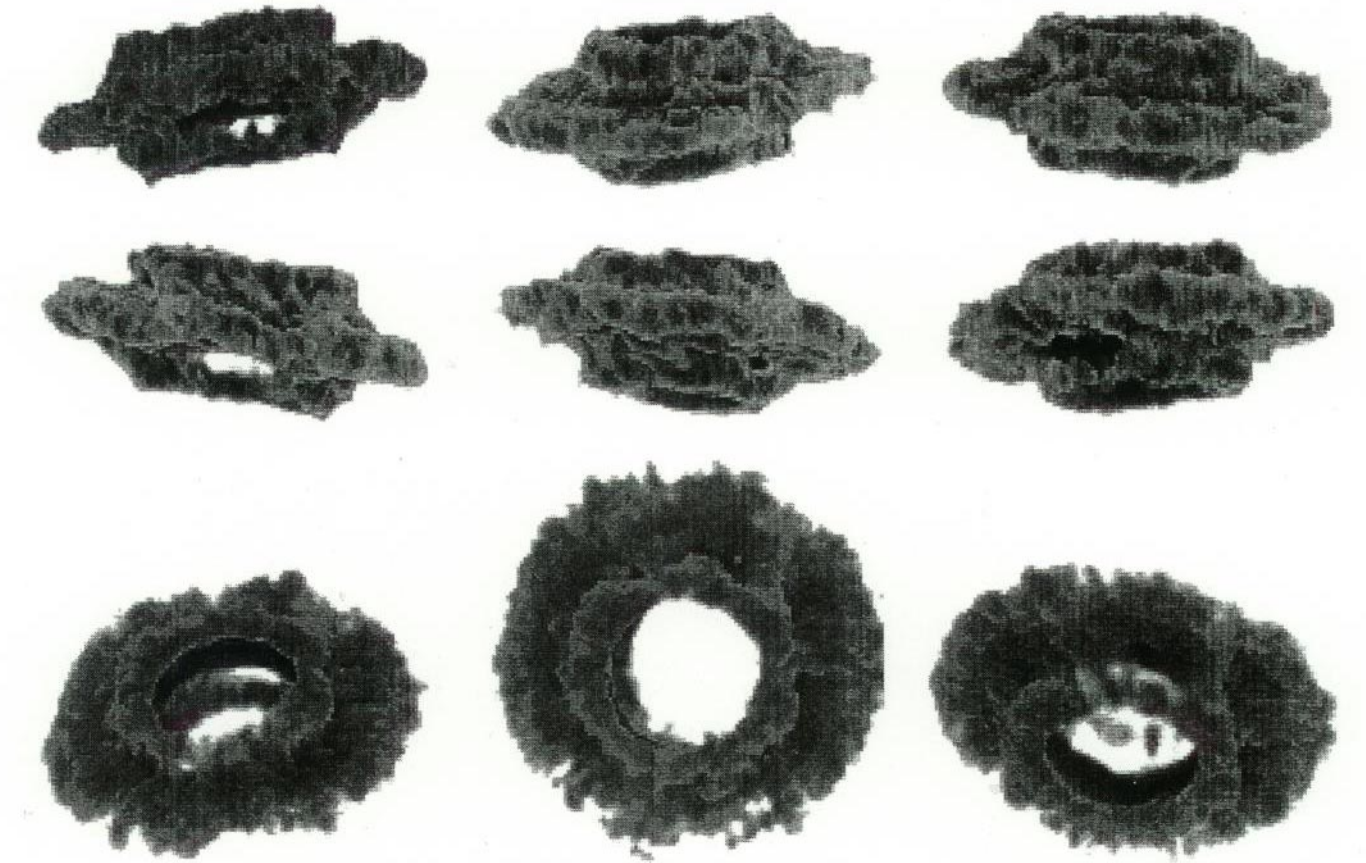
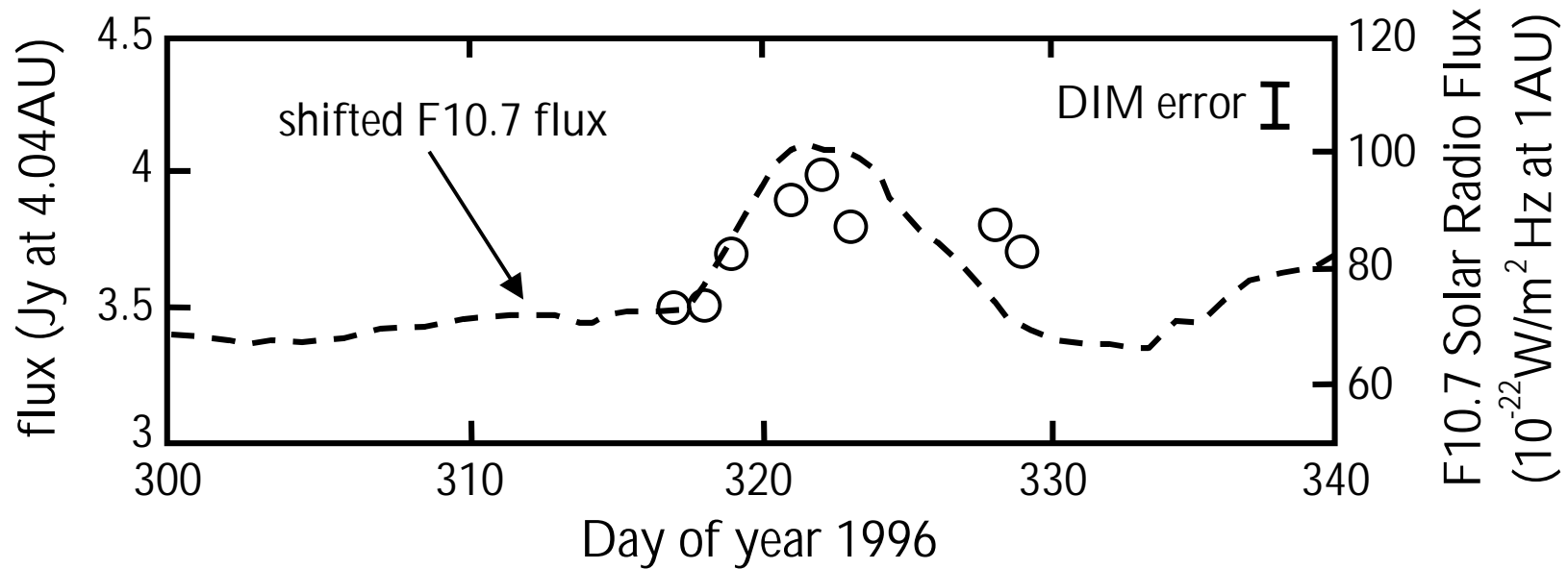


Fig. 3. Three-dimensional reconstructions of Jupiter's radiation belts at 13 cm. These are derived from ten 12 h days of observing. The first six reconstructions correspond to Jupiter viewed with a central meridian longitude of 90° to 330° in increments of 60° . The last three correspond to a central meridian longitude of 90° , but viewed at an angle of 40° , 90° (i.e. the north pole) and 130° to the ecliptic. The planet's thermal emission has been subtracted before the reconstruction process.

(Sault et al., 1997)



鹿島 34m アンテナ 観測で得られた 木星シンクロトン放射の短期変動



(Miyoshi et al., 1999)

